

گونه‌شناسی و تحلیل پایداری لرزه‌ای طاق‌های شهر تاریخی ماسوله*

سعید حسن‌پور لمر^۱- احمد نژاد ابراهیمی^۲- حسن ستاری ساربانقلی^{۳***}- علی وندشماری^۴

۱. دکتری معماری، دانشکده هنر و معماری، دانشگاه آزاد اسلامی واحد تبریز، تبریز، ایران.
۲. استاد گروه معماری و شهرسازی، دانشگاه هنر اسلامی تبریز، تبریز، ایران.
۳. دانشیار گروه معماری و شهرسازی، دانشگاه آزاد اسلامی واحد تبریز، تبریز، ایران (نویسنده مسئول).
۴. دانشیار گروه فرش، دانشگاه هنر اسلامی تبریز، تبریز، ایران.

تاریخ دریافت: ۱۴۰۱/۰۴/۲۹ تاریخ اصلاحات: ۱۴۰۲/۰۷/۲۶ تاریخ پذیرش نهایی: ۱۴۰۲/۰۹/۰۲ تاریخ انتشار: ۱۴۰۲/۰۹/۲۱

چکیده

طاق‌ها از کارآمدترین ابداعاتی هستند که معماران برای پوشش سقف‌ها، دهانه‌های وسیع و همچنین به عنوان عناصر تزئیناتی در بناهای مختلف از آن‌ها بهره برده‌اند. هدف پژوهش، گونه‌شناسی و نحوه عملکرد طاق‌های شهر تاریخی ماسوله در هنگام وقوع زلزله است. سوالات پژوهش بدین شرح است: در معماری شهر تاریخی ماسوله از چندین گونه مختلف طاق استفاده شده است؟ کدامیک از طاق‌های ماسوله در هنگام وقوع زلزله از عملکرد سازه‌ای مناسب‌تری برخوردار هستند؟ روش تحقیق، به صورت مطالعات میدانی است و جهت تحلیل مقاومت زلزله‌ای طاق‌های ماسوله از نرم‌افزار المان محدود آباکوس ۲۰۲۲ و اطلاعات زلزله‌ای شهرهای؛ به (سال ۱۳۸۲)، روبدار منجیل (سال ۱۳۶۹) و طبس (سال ۱۳۵۷) استفاده شده است. نتایج پژوهش نشان‌دهنده آن است؛ شهر تاریخی ماسوله دارای ۱۹ طاق است و طاق‌های پنج او هفت تن و کند رایج‌ترین گونه‌های طاق هستند. روش ساخت طاق به صورت رومی رایج‌ترین روشی است که در معماری ماسوله به کار گرفته شده است. نتایج پژوهش نشان‌دهنده آن است؛ درصد از طاق‌های ماسوله دارای ظرفیت مناسب سازه‌ای در برابر زلزله هستند و محله‌های کشہ‌سر با ۳۷ درصد و محله خانه‌بر با ۲۱ درصد دارای بیشترین طاق‌ها و محله ریحانه‌بر با ۱۰ درصد دارای کمترین میزان به کار گیری طاق در ماسوله هستند. همچنین نتایج تحلیل‌های زلزله‌ای طاق‌های ۱۹ گانه ماسوله نشان‌دهنده آن است؛ قوس هفت او پنج کد که به صورت روش آجرچینی رومی واقع در محله اسد محله است، دارای ضعیف‌ترین عملکرد سازه‌ای در برابر زلزله بوده است و طاق چهل و پنج درجه‌ای با روش ساخت رومی واقع در محله مسجدبر، دارای مناسب‌ترین عملکرد سازه‌ای در شبیه زلزله‌ای بوده است.

واژگان کلیدی: شهر تاریخی ماسوله، طاق، زلزله، معماری سنتی.

قوس‌های آجری ایرانی» (یادداشت پژوهشی) نتایج ذیل به دست آمده نشان‌دهنده آن است؛ قوس‌ها و طاق‌های سهمی باربری مناسبی نسبت به دیگر قوس‌ها و طاق‌ها دارند. مؤمنیان و تحقیقی ۱۳۹۶ در مقاله «بررسی اینمنی لرزه‌ای متداول طاق و چشمۀ بازار تاریخی کاشان به روش اجزای محدود» به نتایج ذیل دست‌یافته است: نتایج تحلیل استاتیکی نشان می‌دهد که طاق و چشمۀ مورد مطالعه در برابر بارهای ثقلی مقاوم است؛ اما نتایج تحلیل تاریخچه زمانی نشان می‌دهد که طاق و چشمۀ تاب مقاومت در برابر بارهای لرزه‌ای را نداشته و مقاوم‌سازی در برابر زلزله باید در طرح مرمت‌های آتی این بنای تاریخی مدنظر قرار گیرد. منصوری ۱۳۹۷ در کتاب «بررسی و شناخت انواع طاق‌ها در معماری ایران» رجبی ۱۳۹۸ در کتاب «تاق و قوس در معماری ایران (رشته معماری)» و ربیعی و همکاران ۱۳۹۹ در کتاب «کلینیو» به شناخت انواع طاق‌ها، روش‌های ترسیم و چگونگی اجزاء طاق‌ها در معماری ایرانی پرداخته‌اند. مهدی‌نژاد جمال‌الدین و همکاران ۱۴۰۰ در مقاله «یکپارچگی فرم معماري و سازه در شکل‌گيری ساختار كالبدی بنای‌های تاریخی با استفاده از قوس ایرانی» به نتایج ذیل دست‌یافته‌اند: درواقع معماران سنتی بدین صورت ماهراهانه جنبه‌های سازه‌ای و فی بنای را با استفاده از طاق‌های مشکل از قوس‌های پنج او هفت در راه نیل به فضای زیبا و با کیفیت به خدمت گرفته‌اند و توanstند قنایی‌ها و ناموزونی‌هایی که در آرایش جرزها به عنوان تهدید قلمداد می‌شد را با بهره‌گیری از این نوع قوس به فرستی جهت بروز و ظهر جنبه‌های زیبایی‌شناسانه طراحی فضا بدل کنند. فلاحتی و همکاران ۱۴۰۱ در مقاله‌ای تحت عنوان «مقایسه تطبیقی طاق و گنبد تیموری با روش‌های محاسباتی در سرمشق‌های کاشانی نمونه موردي: مسجد گوهرشاد مشهد» نتایج پژوهش نشان‌دهنده آن است که محاسبات و ترسیمات کاشانی فقط یک تمرین عملی نظری نبوده و او به درستی عملیات محاسباتی را برای خلق عناصر معماری به کار بسته است. همچنین رابطه میان قواعد محاسباتی سرمشق‌های کاشانی و نظام هندسی طاق و گنبد مسجد گوهرشاد تائید می‌شود. آینه‌چی و همکاران ۱۳۹۸ در مقاله‌ای تحت عنوان «مقایسه هندسه و روش ترسیم طاق کاربندی نمونه‌های مطالعاتی کاربندی‌های زمینه ۱۰، ۱۲، ۱۴ و ۱۶» به تفاوت‌ها و شباهت‌های موجود در روش ترسیم کاربندی‌ها پرداخته است. نتایج نشان‌دهنده آن است تاکنون پژوهش‌های متعددی درباره انواع طاق‌های به کار گرفته‌شده در نقاط مختلف ایران صورت‌گرفته است، اما تاکنون پژوهشی درباره طاق‌های ماسوله و نحوه عملکرد طاق‌های آن در شرایط زلزله‌ای مخرب ایران صورت‌نگرفته است، و انجام پذیرفتن این پژوهش می‌تواند گونه‌های متعدد طاق‌های موجود در ماسوله و نقش مهم طاق‌ها را در ایجاد پایداری سازه‌ای در اینیه ماسوله را آشکار گردد.

۱. مقدمه

طاق (چفته، چفده، چفت، دور یا خمیده) همواره یکی از ارزشمندترین راهکارهای هنرمندان ایران بوده است که از آن برای پوشش دهانه‌ها و ایجاد مقاومیت عرفانی در اینیه از آن بهره جسته‌اند (Rasouli 2014, 160; Bozorgmehri 2006, 17; Pirniya 1973, 146; Pirniya 1990, 202).

شهر تاریخی ماسوله واقع در استان گیلان دارای قدمتی بیش از ۱۰ قرن است که در سال ۱۳۵۴ در فهرست آثار ملی ایران ثبت گردیده و اکنون در مراحل ثبت سازمان جهانی یونسکو است (Hasanpour Loumer et al. 2023, 59). با توجه به آن که در ساخت اینیه شهر تاریخی ماسوله از مصالح بوم‌آورده استفاده شده و اینیه ماسوله در وضعیت مناسب عملکردی قرار دارند اما بیم آن می‌رود که این میراث ارزشمند در هنگام وقوع حادث طبیعی و غیرطبیعی مورد آسیب جدی قرار گیرند، مستندنگاری و انجام پذیرفتن چنین پژوهش‌هایی می‌تواند، نحوه عملکرد عناصر معماري همچون طاق‌ها در هنگام وقوع زلزله و حفاظت مؤثر از اینیه را در شهر تاریخی ماسوله میسر سازند.

سؤالات پژوهش بدین شرح است: در معماری شهر تاریخی ماسوله از چندین گونه مختلف طاق استفاده شده است؟ کدامیک از طاق‌های ماسوله در هنگام وقوع زلزله از عملکرد سازه‌ای مناسب‌تری برخوردار است؟

۲. پیشینه‌ی پژوهش

در مورد طاق‌های ایرانی تاکنون تحقیقات متنوعی صورت گرفته است که در ادامه به برخی از نتایج پژوهش‌های اشاره خواهد گردید: پیرنیا ۱۳۷۳ در مقاله‌ای تحت عنوان «چفدها و طاق‌ها - چفدها» به شناسایی و معرفی طاق‌ها پرداخته است، از منظر استاد پیرنیا، چفه در تعریف هندسی خط یا شکل منحنی است و در اصطلاح معماری به باریکه طاقی که روی سر در یک درگاه قرار می‌گیرد اطلاق می‌شود. طاق به طور کلی به مفهوم پوشش فضای بین دیوار است و طاق‌ها بر مبنای پوشش بر دو نوع تخت و منحنی هستند. غیاث‌الدین جمشید کاشانی ۱۳۸۷ در کتاب «رساله طاق و ازج» به ترسیمات متعدد از طاق‌ها و اشکال هندسی پرداخته است. آذره گدار و یدا گدار ۱۳۹۰ در کتاب «طاق و قوس در معماری ایرانی» به مطالعه انواع طاق‌ها در معماری نقاط مختلف ایران پرداخته‌اند؛ از منظر گدار اندواع طاق و قوس در معماری اسلامی و ایرانی عبارت‌اند از طاق آهنگ، طاق ترکین، طاق چهاربخش، طاق و تویزه، طاق کجاوه، طاق کاربندی. طاق در معماری اسلامی علاوه بر این که عنصری کاربردی و سازه‌ای بوده است یک عامل مهم زیبایی‌شناسی محسوب می‌گردد. نوع طاق به کاررفته در بنا معمولاً بر اساس اقلیم منطقه و کاربری بنا و زیبایی‌شناسی انتخاب می‌گردد. پورامینیان و همکاران ۱۳۹۱ در «بررسی پایداری لرزه‌ای

مے نامند۔

شکرگاه یا شکنگاه: فاصله بین پاکار و شانه طاق را مم نامند.

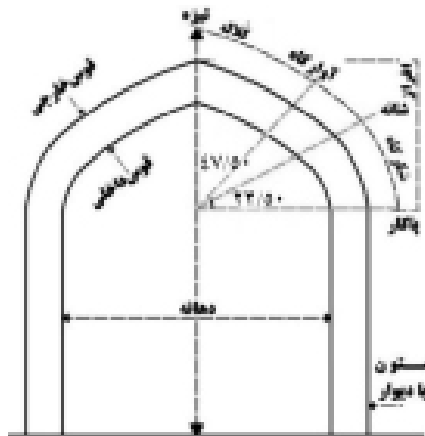
آوارگاه: به فاصله بین شانه تا محلی که طاق در اثر بار زیاد فرومی‌ریزد گفته می‌شود که تقریباً زاویه‌ای ۴۷.۵° است.
(Pirniva 1993, 7)

دهانه: فاصله داخلی دو ستون طرفین طاق را دهانه می‌نامند.

افراز: به فاصله قائم پاکار تا تیزه گفته می‌شود.
کُلالة: فاصله بین تیزه تا محل تمام شدن آوارگاه را کُلالة می‌نامند.

خیز طاق: نسبت افزایش به دهانه را خیز طاق می‌نامند.

شکل ۱: اجزاء سازه‌ای طاق



(Nazar Mohammadi and Rezvan 2012, 331)

۵. معرفه طاچهای شهر تاریخی ماسوله

شهر تاریخی ماسوله متشکل از پنج محله؛ خانه‌بر، مسجدبیر، اسد محله، کشه‌سر علیا سفلا و با مساحت تقریبی ۱۶۰۰۰ مترمربع است (Hasanpour Loumer et al. 2023b, 2; Kakouei et al. 2012, 48; Zamani-Farahani and Musa 2008, 36; Mansouri 2018, 767; Musai et al. 2013, 196; Zamani-Farahani and Musa 2008, 36; Mansouri 2018, 767; Zamani-Farahani and Musa 2008, 1234; Nasehi, Allahyari, and Zebaradast 2017, 15; Memariyan 2012, 219; Ghaffari and Mostoli Zadeh 2013, 113). ماسوله دارای ۱۹ طاق در بخش بازشوهای ورودی است که قدمت دیرینگی ساخت آن‌ها به دوره زندیه و قاجاریه بازمی‌گردد. طاق‌های ماسوله غالباً به صورت رومی و با مصالح بوم‌آور؛ خشت خام، سنگ‌های کوهپایه‌ای ساخته شده‌اند. در ادامه ابتدا، مشخصات کالبدی ۱۹ طاق موجود در ماسوله که شامل تصاویر، ابعاد، اندازه، نحوه ترسیم هندسی تاق، موقعیت جغرافیایی طاق در محلات ماسوله، نوع و نام طاق، حدود، ارائه می‌گردد و در گام بعدی، تحلیل‌های

۳. روش پژوهش

در گام نخست، تمامی مشخصات کالبدی ۱۹ طاق موجود در ماسوله به صورت میدانی برداشت و توسط نرم افزار اتوکد ۲۰۲۳ ترسیم گردید. در گام بعدی، جهت مشخص شدن عملکرد سازه‌ای طاق‌ها، تمامی طاق‌های ۱۹ گانه توسط نرم افزار المان محدود آباکوس ۲۰۲۲ مورد ترسیم سه‌بعدی قرار گرفته است. در این نرم افزار جهت شبیه‌سازی عملکرد طاق‌ها از مشخصات زلزله‌های به وقوع پیوسته در ایران که شامل: زلزله بهم با شدت ۶.۶ ریشتر در سال ۱۳۸۲، زلزله رودبار منجیل با شدت ۷.۴ ریشتر در سال ۱۳۶۹ و زلزله طبس با شدت ۷.۸ ریشتر در سال ۱۳۵۷ خسارت‌های مالی و جانی بسیار فراوانی برای کشور ایران به وجود آورد، استفاده شده است و در گام آخر، نتایج تحلیل‌های آماری در غالب جداول ارائه می‌گردند.

۴. شناخت انواع طاق و عناصر تشکیل دهنده طاق

طاق‌ها از عناصر مهم هندسی در معماری ایرانی هستند که برای پوشش درگاه‌ها، گنبدها، ایوان‌ها و رواق‌ها استفاده می‌شوند (Makki Nejad 2005, 11). ابتدای ترین اشکال طاق‌ها در بنای‌های مصر باستان به کار گرفته شد و در دوران رم باستان و همچنین در معماری ایران به اوج خویش رسیده است (Rastegarpour 2014, 52). طاق‌ها یکی از قوی‌ترین ساختارهای هندسی هستند (Fuller 1998, 63) که برای پوشاندن سقف‌ها و سر درگاه‌ها که دارای تحمل بار فراوان را دارند به کار می‌روند، طاق علاوه بر ساختار کاربردی جنبه‌های تزییناتی را دارا می‌باشد (Raeis Zadeh and Mofid 2006, 3).

۱- انواع دسته‌بندی طاق‌ها

طاقهایی که در آثار ایران به کار رفته، بر سه دسته می‌باشند:

۱. طاقهای باربر: این دسته از طاق‌ها به شکل مدور و با ارتفاع بیشتر از شعاع نیم‌دایره به نام انواع طاق‌های مازه‌دار، بیز و یا به شکل تیز که اصطلاحاً شاخ بزی گفته می‌شود مواد استفاده بوده؛ این طاق‌ها چندان زیبا نیستند، اما کاملاً باربر هستند.

۲. طاق‌های تیز: این طاق‌ها را اصطلاحاً شاهعباسی می‌گویند و در ساختمان‌های آجری کاربرد فراوانی دارند.

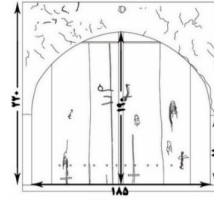
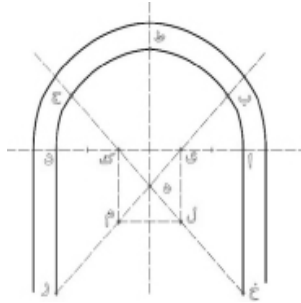
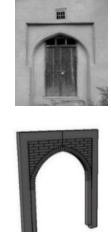
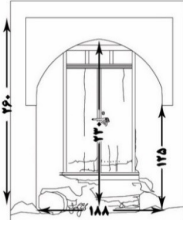
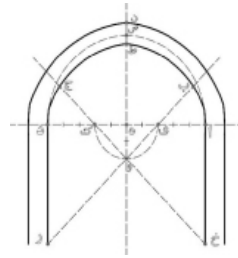
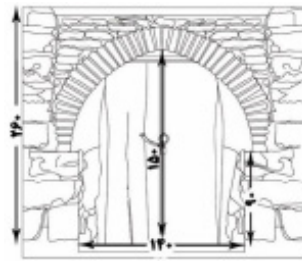
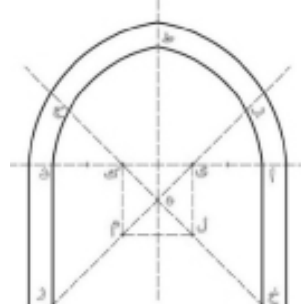
۳. طاق‌های تزیینی: این دسته از طاق‌ها فاقد باربری بوده و اغلب به شکل زینتی در نماسازی به کار گرفته می‌شود (Zomarshidi 2010, 28) و در دهانه‌های کوچک اجرا می‌گرددند (Kiyani 2012, 398).

پاکار: محلی از ستون که طاق از آن جا آغاز می‌شود، پاکار
می‌نامند.

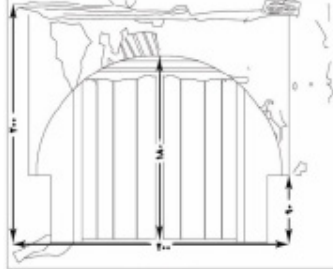
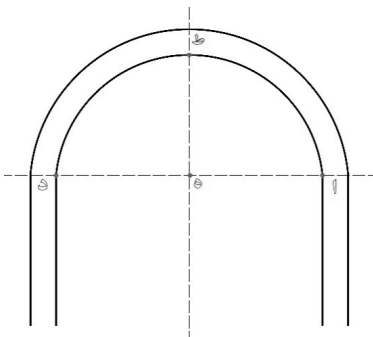
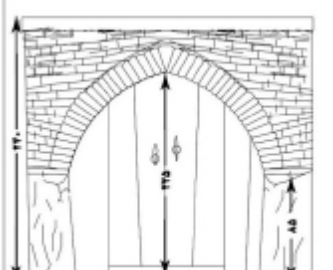
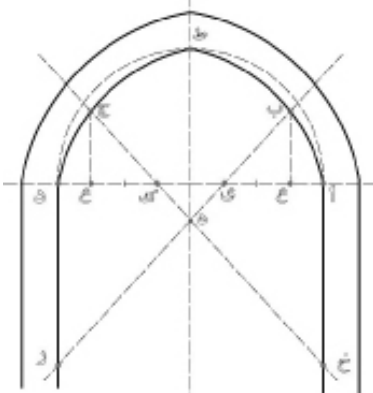
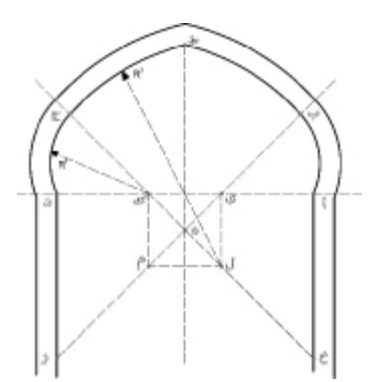
شانه: محلی از طاق را که در اثر بار زیاد ترک بر می‌دارد،
شانه طاق می‌گویند و زاویه آن تقریباً 22.5° درجه است.
تیزه: محل پرخورد دو نیمه‌طاق به یکدیگر را تیزه

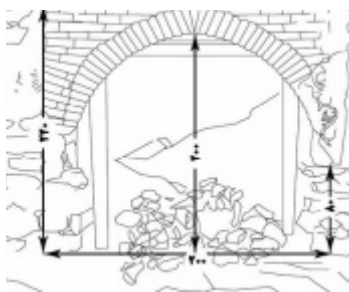
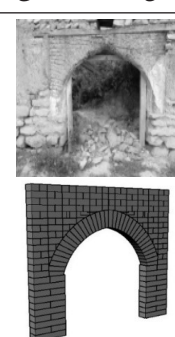
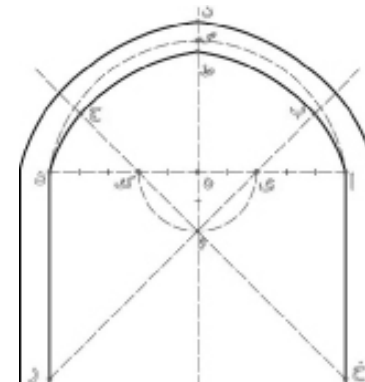
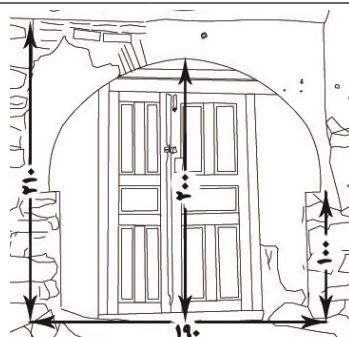
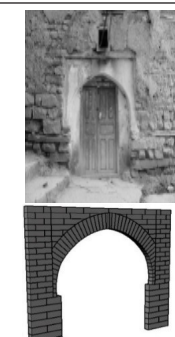
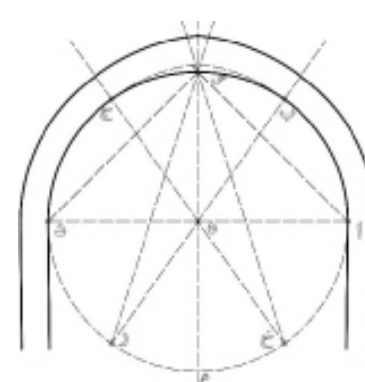
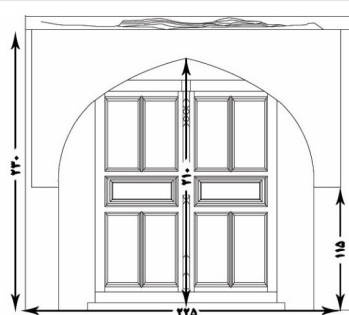
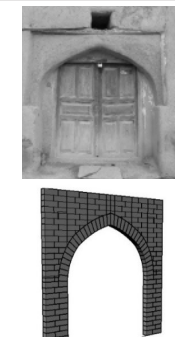
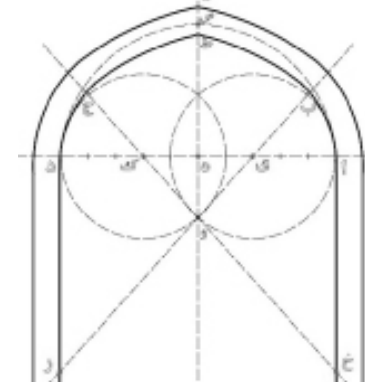
شبیه‌سازی عملکرد طاق‌های ماسوله با مشخصات زلزله‌ای شهرهای رودبار منجیل، بم و طبس ارائه خواهد گردید.

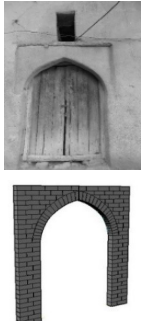
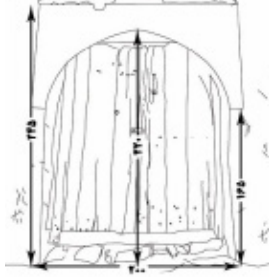
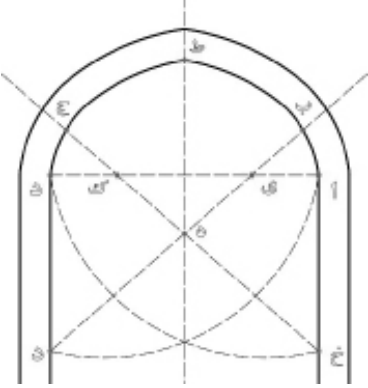
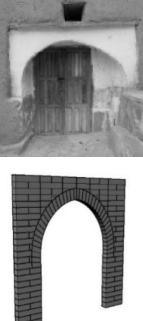
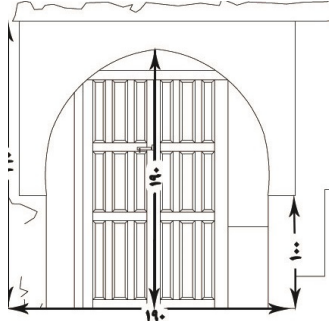
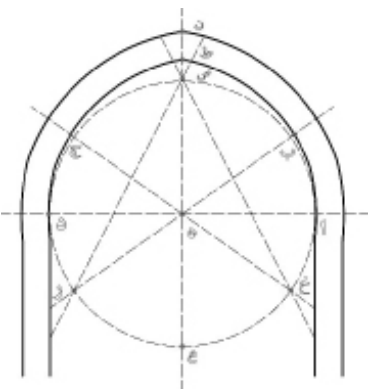
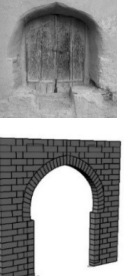
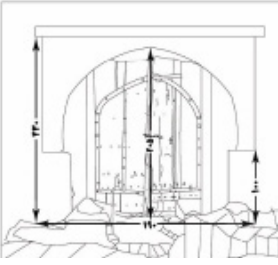
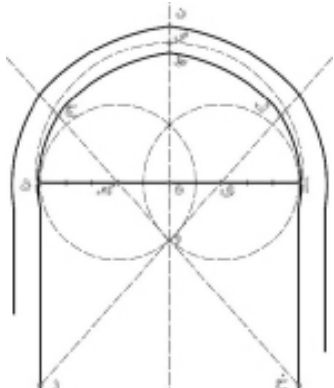
جدول ۱: مشخصات کالبدی طاق‌های شهر تاریخی ماسوله

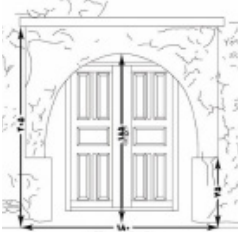
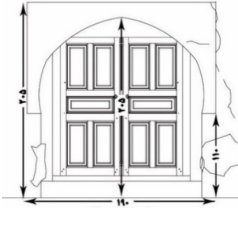
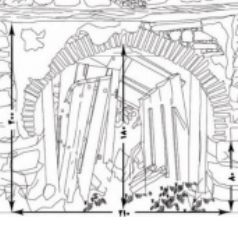
| ردیف | شکل سه‌بعدی طاق | ابعاد و اندازه طاق | تحلیل هندسی طاق |
|------|---|---|---|
| ۱ |  |  |  |
| | نام محله، وضعیت بنا | نام طاق و روش اجرای طاق | نوع طاق |
| | اسدمحله سالم <input checked="" type="checkbox"/> در معرض خطر جدی تخرب <input type="checkbox"/> تخریب شده | طاق سه‌قسمتی کند ضری <input checked="" type="checkbox"/> رومی <input type="checkbox"/> بتني <input checked="" type="checkbox"/> بتني | باربر... <input checked="" type="checkbox"/> ترئینی... <input type="checkbox"/> |
| ۲ |  |  |  |
| | نام محله، وضعیت بنا | نام طاق و روش اجرای طاق | نوع طاق |
| | اسدمحله سالم <input checked="" type="checkbox"/> در معرض خطر جدی تخرب <input type="checkbox"/> تخریب شده | هفت او پنج کند ضری <input checked="" type="checkbox"/> رومی <input type="checkbox"/> بتني <input type="checkbox"/> بتني | باربر... <input checked="" type="checkbox"/> ترئینی... <input type="checkbox"/> |
| ۳ |  |  |  |
| | نام محله، وضعیت بنا | نام طاق و روش اجرای طاق | نوع طاق |
| | اسدمحله، سالم <input type="checkbox"/> در معرض خطر جدی تخرب <input checked="" type="checkbox"/> تخریب شده | سه‌قسمتی کند ضری <input checked="" type="checkbox"/> رومی <input type="checkbox"/> بتني <input type="checkbox"/> بتني | باربر... <input checked="" type="checkbox"/> ترئینی... <input type="checkbox"/> |

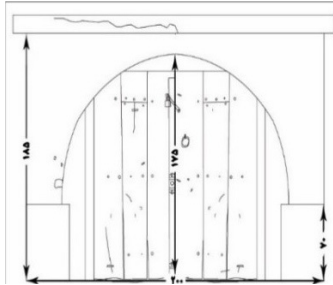
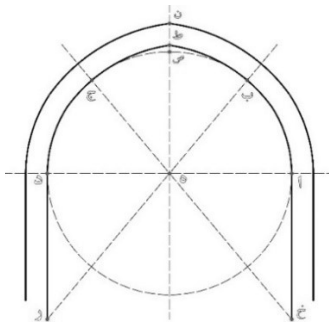
| ردیف | شكل سه بعدی طاق | ابعاد و اندازه طاق | تحلیل هندسی طاق |
|------|---|-------------------------------------|---|
| ۴ | | | |
| | نام طاق و روش اجرای طاق | ابعاد و اندازه طاق | تحلیل هندسی طاق |
| | ریحانه‌بر، سالم در معرض خطر جدی تخریب تخریب شده | سه کمانه سه مرکزی ضریب رومی بتنی | باربر..... <input checked="" type="checkbox"/> تزئینی..... |
| ردیف | شكل سه بعدی طاق | ابعاد و اندازه طاق | تحلیل هندسی طاق |
| ۵ | | | |
| | نام محله، وضعیت بنا | نام طاق و روش اجرای طاق | نوع طاق |
| | ریحانه‌بر، سالم در معرض خطر جدی تخریب تخریب شده | پنج او هفت تن ضریب رومی بتنی | باربر..... <input checked="" type="checkbox"/> تزئینی..... |
| ردیف | شكل سه بعدی طاق | ابعاد و اندازه طاق | تحلیل هندسی طاق |
| ۶ | | | |
| | نام محله، وضعیت بنا | نام طاق و روش اجرای طاق | نوع طاق |
| | مسجدبر، سالم در معرض خطر جدی تخریب تخریب شده | چهل و پنج درجهای ضریب رومی بتنی | باربر..... <input checked="" type="checkbox"/> تزئینی..... |

| ردیف | شکل سه بعدی طاق | ابعاد و اندازه طاق | تحلیل هندسی طاق |
|------|--|---|---|
| ۷ |  |  |  |
| | نام محله، وضعیت بنا | نام طاق و روش اجرای طاق | تحلیل هندسی طاق |
| | مسجدبر، سالم <input type="checkbox"/> در معرض خطر جدی تخریب <input checked="" type="checkbox"/> تخریب شده | <input checked="" type="checkbox"/> باربر... دور تمام <input checked="" type="checkbox"/> رومی <input checked="" type="checkbox"/> بتني <input type="checkbox"/> تزئینی | |
| ردیف | شکل سه بعدی طاق | ابعاد و اندازه طاق | تحلیل هندسی طاق |
| ۸ |  |  |  |
| | نام محله، وضعیت بنا | نام طاق و روش اجرای طاق | تحلیل هندسی طاق |
| | مسجدبر، سالم <input type="checkbox"/> در معرض خطر جدی تخریب <input checked="" type="checkbox"/> تخریب شده | <input checked="" type="checkbox"/> باربر... چهار قسمتی تندر <input type="checkbox"/> رومی <input checked="" type="checkbox"/> بتني <input type="checkbox"/> تزئینی | |
| ردیف | شکل سه بعدی طاق | ابعاد و اندازه طاق | تحلیل هندسی طاق |
| ۹ |  |  |  |
| | نام محله، وضعیت بنا | نام طاق و روش اجرای طاق | تحلیل هندسی طاق |
| | خانه بر، سالم <input checked="" type="checkbox"/> در معرض خطر جدی تخریب <input type="checkbox"/> تخریب شده | <input checked="" type="checkbox"/> باربر... سه قسمتی تندر <input checked="" type="checkbox"/> رومی <input checked="" type="checkbox"/> بتني <input type="checkbox"/> تزئینی | |

| ردیف | شکل سه‌بعدی طاق | ابعاد و اندازه طاق | تحلیل هندسی طاق |
|------|--|---|---|
| ۱۰ |  |  نام محله، وضعیت بنا خانه‌بر، سالم در معرض خطر جدی تخریب تخریب شده |  |
| ۱۱ |  |  نام محله، وضعیت بنا خانه‌بر، سالم در معرض خطر جدی تخریب تخریب شده |  |
| ۱۲ |  |  نام محله، وضعیت بنا خانه‌بر، سالم در معرض خطر جدی تخریب تخریب شده |  |

| ردیف | شکل سه بعدی طاق | ابعاد و اندازه طاق | تحلیل هندسی طاق |
|------|--|---|--|
| ۱۳ |  |  |  |
| | نام محله، وضعیت بنا | نام طاق و روش اجرای طاق | نوع طاق |
| | کشهسر، سالم <input checked="" type="checkbox"/> در معرض خطر جدی تخریب <input type="checkbox"/> تخریب شده | باربر..... سه قسمتی تند ضریبی <input type="checkbox"/> رومی <input checked="" type="checkbox"/> بتنی ترئینی <input type="checkbox"/> | <input checked="" type="checkbox"/> شبدري تند <input type="checkbox"/> ضریبی <input type="checkbox"/> رومی <input checked="" type="checkbox"/> بتنی <input type="checkbox"/> ترئینی |
| ردیف | شکل سه بعدی طاق | ابعاد و اندازه طاق | تحلیل هندسی طاق |
| ۱۴ |  |  |  |
| | نام محله، وضعیت بنا | نام طاق و روش اجرای طاق | نوع طاق |
| | کشهسر، سالم <input checked="" type="checkbox"/> در معرض خطر جدی تخریب <input type="checkbox"/> تخریب شده | باربر..... شبدري تند ضریبی <input type="checkbox"/> رومی <input checked="" type="checkbox"/> بتنی ترئینی <input type="checkbox"/> | <input checked="" type="checkbox"/> شبدري تند <input type="checkbox"/> ضریبی <input type="checkbox"/> رومی <input checked="" type="checkbox"/> بتنی <input type="checkbox"/> ترئینی |
| ردیف | شکل سه بعدی طاق | ابعاد و اندازه طاق | تحلیل هندسی طاق |
| ۱۵ |  |  |  |
| | نام محله، وضعیت بنا | نام طاق و روش اجرای طاق | نوع طاق |
| | کشهسر، سالم <input checked="" type="checkbox"/> در معرض خطر جدی تخریب <input type="checkbox"/> تخریب شده | باربر..... پنج او هفت تند ضریبی <input type="checkbox"/> رومی <input checked="" type="checkbox"/> بتنی ترئینی <input type="checkbox"/> | <input checked="" type="checkbox"/> پنج او هفت تند <input type="checkbox"/> ضریبی <input type="checkbox"/> رومی <input checked="" type="checkbox"/> بتنی <input type="checkbox"/> ترئینی |

| ردیف | شکل سه‌بعدی طاق | ابعاد و اندازه طاق | تحلیل هندسی طاق |
|------|---|--|----------------------|
| ۱۶ |  |   | تحلیل هندسی طاق |
| | نام طاق و روش اجرای طاق | ابعاد و اندازه طاق | ردیف شکل سه‌بعدی طاق |
| | کشه‌سر، ساملم در معرض خطر جدی تخریب □ تخریب شده | چمانه باربر... ضری رومی <input checked="" type="checkbox"/> بتنی <input type="checkbox"/> تزئینی | نام محله، وضعیت بنا |
| ردیف | شکل سه‌بعدی طاق | ابعاد و اندازه طاق | تحلیل هندسی طاق |
| ۱۷ |  |   | تحلیل هندسی طاق |
| | نام طاق و روش اجرای طاق | ابعاد و اندازه طاق | ردیف شکل سه‌بعدی طاق |
| | کشه‌سر، ساملم در معرض خطر جدی تخریب □ تخریب شده | پنج او هفت تن باربر... ضری رومی <input checked="" type="checkbox"/> بتنی <input type="checkbox"/> تزئینی | نام محله، وضعیت بنا |
| ردیف | شکل سه‌بعدی طاق | ابعاد و اندازه طاق | تحلیل هندسی طاق |
| ۱۸ |  |   | تحلیل هندسی طاق |
| | نام طاق و روش اجرای طاق | ابعاد و اندازه طاق | ردیف شکل سه‌بعدی طاق |
| | کشه‌سر، ساملم در معرض خطر جدی تخریب <input checked="" type="checkbox"/> تخریب شده | پنج او هفت تن باربر... ضری رومی <input checked="" type="checkbox"/> بتنی <input type="checkbox"/> تزئینی | نام محله، وضعیت بنا |

| ردیف | شکل سه بعدی طاق | ابعاد و اندازه طاق | تحلیل هندسی طاق |
|------|---|---|---|
| ۱۹ |  |  |  |

نام محله، وضعیت بنا

کشیده،

سامان در معرض خطر جدی

نام طاق و روش اجرای طاق

پاتوپا

 باربر تزئینی ضربی رومی بتنی تخریب شده

طبس و شهر بم، استحکامات پایداری و زلزله‌ای طاق‌های ۱۹ گانه موجود در شهر تاریخی ماسوله مورد بررسی قرار خواهد گرفت.

۵-۱- پارامترهای به کار گرفته شده و نتایج تحلیل زلزله‌ای طاق‌های شهر تاریخی ماسوله

در ادامه بر مبنای نرمافزار تحلیلی اجزای محدود آباکوس ۲۰۲۲ و مشخصات زلزله‌ای شهرهای روذبار، منجیل،

جدول ۲: توضیح علائم معیارهای به کار رفته در مدل‌سازی اجزای محدود طاق‌های ۱۹ گانه ماسوله

| ردیف | واحد معیار سنجش به انگلیسی | واحد معیار سنجش به فارسی |
|------|----------------------------|--|
| ۱ | C | چسبندگی |
| ۲ | f | زاویه اصطکاک داخلی |
| ۳ | η | زاویه انبساط حجمی |
| ۴ | E | مدول الاستیسیته |
| ۵ | ρ | چگالی جرمی |
| ۶ | v | ضریب پوپاوسون |
| ۷ | Load | میزان سربار ثقلی که با توجه به عرض بارگیر برای طاق‌ها به یک میزان فرض شده است. |
| ۸ | σ_t | مقاومت کششی مجاز مصالح |
| ۹ | σ_c | مقاومت فشاری مجاز مصالح |

جدول ۳: معیارهای به کار رفته در مدل‌سازی اجزای محدود طاق‌های ۱۹ گانه ماسوله

| ردیف | معیار سنجش | واحد | واحد به انگلیسی | اطلاعات |
|------|------------|--------------------|-----------------|----------|
| ۱ | C | پاسکال | Pa | ۱.۰۰E+۰۵ |
| ۲ | f | درجه | Degree | ۲۰ |
| ۳ | η | درجه | Degree | ۱۵ |
| ۴ | E | پاسکال | Pa | ۷.۰۰E+۰۹ |
| ۵ | ρ | کیلوگرم بر مترمکعب | Kg/m3 | ۱۸۵۰ |
| ۶ | v | - | - | ۰.۲ |
| ۷ | Load | کیلو نیوتن | KN | ۶۰ |
| ۸ | σ_t | مگا پاسکال | Mpa | ۰.۲ |
| ۹ | σ_c | مگا پاسکال | Mpa | ۲.۵ |

جدول ۴: فرضیات به کار رفته در مدل سازی اجزای محدود

| ردیف | فرضیات در تحلیل استاتیکی |
|------|--|
| ۱ | طاق در پای طاق گیردار است. |
| ۲ | برای المان‌ها رفتار الاستیک خطی در نظر گرفته شده است. |
| ۳ | مصالح ایزوتوپ هستند. |
| ۴ | علاوه بر وزن خود طاق، سرباره معادل ۶۰ کیلو نیوتن به طاق وارد می‌شود. |
| ۵ | کرنش مجاز مصالح بنایی ۰۰۰۲ در نظر گرفته شده است. |

جدول ۵: نتایج خواسته شده در مدل سازی اجزای محدود

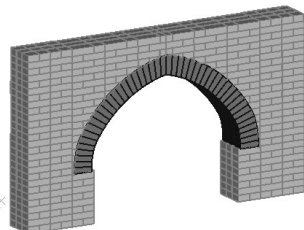
| ردیف | نتایج خواسته شده |
|------|--|
| ۱ | بررسی میزان خیز کلیه طاق‌ها در شرایط بارگذاری استاتیکی یکسان |
| ۲ | بررسی میزان تنش فشاری حداکثر و مقایسه با تنش فشاری مجاز در شرایط بارگذاری استاتیکی یکسان |
| ۳ | بررسی میزان تنش کششی حداکثر و مقایسه با تنش کششی مجاز در شرایط بارگذاری استاتیکی یکسان |

جدول ۶: ترتیب عملکرد طاقهای ماسوله از منظر تغییر شکل حداقلی در زلزله (رنگ زرد: بدترین عملکرد، رنگ آبی: مناسب‌ترین طاق در برابر زلزله)

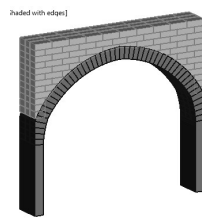
| شماره طاق | بیشترین تغییرات بر حسب متر | بیشترین تغییرات بر حسب میلی متر |
|-----------|----------------------------|---------------------------------|
| S1 | 5.17E-0 4 | 0.517 |
| S2 | 5.08E-0 4 | 0.508 |
| S5 | 3.98E-0 4 | 0.398 |
| S17 | 3.94E-0 4 | 0.394 |
| S10 | 3.82E-0 4 | 0.382 |
| S4 | 3.78E-0 4 | 0.378 |
| S18 | 3.41E-0 4 | 0.341 |
| S3 | 3.24E-0 4 | 0.324 |
| S16 | 3.21E-0 4 | 0.321 |
| S9 | 3.19E-0 4 | 0.319 |
| S7 | 2.82E-0 4 | 0.282 |
| S15 | 2.65E-0 4 | 0.265 |
| S11 | 2.60E-0 4 | 0.260 |
| S13 | 2.58E-0 4 | 0.258 |
| S19 | 2.30E-0 4 | 0.230 |
| S8 | 2.17E-0 4 | 0.217 |
| S14 | 1.85E-0 4 | 0.185 |
| S12 | 1.83E-0 4 | 0.183 |
| S6 | 1.77E-0 4 | 0.177 |

حداکثر تغییر شکل تحت بارهای استاتیکی

حداقل تغییر شکل تحت بارهای استاتیکی



طاق S6



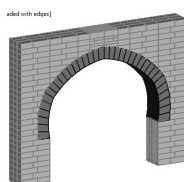
طاق S1

جدول ۷: نحوه عملکرد طاق‌های ماسوله از منظر تنش‌های کششی در زلزله (رنگ زرد: بدترین عملکرد، رنگ آبی: مناسب‌ترین طاق در برابر زلزله)

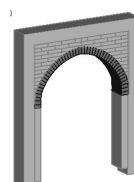
| شماره طاق | Pa | MPa |
|-----------|----------------|----------------|
| | تنش Stress (T) | تنش Stress (T) |
| S2 | ۱۹۴۷۰۰۰۰۰ | ۰.۱۹۵ |
| S17 | ۱۲۶۱۰۰۰۰۰ | ۰.۱۲۶ |
| S5 | ۱۲۱۹۰۰۰۰۰ | ۰.۱۲۲ |
| S1 | ۱۱۸۲۰۰۰۰۰ | ۰.۱۱۸ |
| S7 | ۱۰۹۴۰۰۰۰۰ | ۰.۱۰۹ |
| S4 | ۹۲۶۰۰۰۰۰ | ۰.۰۹۳ |
| S10 | ۸۸۸۷۰۰۰۰۰ | ۰.۰۸۹ |
| S3 | ۸۷۷۸۰۰۰۰۰ | ۰.۰۸۸ |
| S18 | ۸۷۴۷۰۰۰۰۰ | ۰.۰۸۷ |
| S16 | ۸۶۶۰۰۰۰۰۰ | ۰.۰۸۷ |
| S19 | ۸۰۸۹۰۰۰۰۰ | ۰.۰۸۱ |
| S15 | ۷۹۶۹۰۰۰۰۰ | ۰.۰۸۰ |
| S9 | ۷۱۷۹۰۰۰۰۰ | ۰.۰۷۲ |
| S11 | ۶۸۳۷۰۰۰۰۰ | ۰.۰۶۸ |
| S13 | ۶۷۹۷۰۰۰۰۰ | ۰.۰۶۸ |
| S8 | ۶۳۹۷۰۰۰۰۰ | ۰.۰۶۴ |
| S6 | ۵۲۲۱۰۰۰۰۰ | ۰.۰۵۲ |
| S12 | ۴۹۱۱۰۰۰۰۰ | ۰.۰۴۹ |
| S14 | ۴۰۹۹۰۰۰۰۰ | ۰.۰۴۱ |

حداکثر تنش‌های کششی تحت بارهای استاتیکی

حداقل تنش‌های کششی تحت بارهای استاتیکی



طاق S14



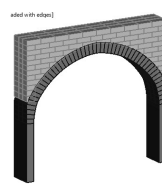
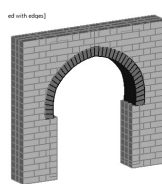
طاق S2

جدول ۸: نحوه عملکرد طاق‌های ماسوله تحت تنشی‌های فشاری در زلزله (رنگ زرد: بدترین عملکرد، رنگ آبی: مناسب‌ترین طاق در برابر زلزله)

| شماره طاق | Pa | MPa |
|-----------|------------|------------|
| | Stress (C) | Stress (C) |
| S1 | ۲۳۶۲۰۰۰۰۰ | ۰.۲۳۶ |
| S2 | ۲۲۶۵۰۰۰۰۰ | ۰.۲۲۷ |
| S4 | ۲۱۳۹۰۰۰۰۰ | ۰.۲۱۴ |
| S18 | ۲۱۳۲۰۰۰۰۰ | ۰.۲۱۳ |
| S5 | ۲۱۱۵۰۰۰۰۰ | ۰.۲۱۲ |
| S17 | ۱۹۵۱۰۰۰۰۰ | ۰.۱۹۵ |
| S8 | ۱۸۳۹۰۰۰۰۰ | ۰.۱۸۴ |
| S16 | ۱۸۱۵۰۰۰۰۰ | ۰.۱۸۲ |
| S7 | ۱۷۳۹۰۰۰۰۰ | ۰.۱۷۴ |
| S13 | ۱۷۰۸۰۰۰۰۰ | ۰.۱۷۱ |
| S19 | ۱۶۹۹۰۰۰۰۰ | ۰.۱۷۰ |
| S10 | ۱۶۷۹۰۰۰۰۰ | ۰.۱۶۸ |
| S3 | ۱۶۴۸۰۰۰۰۰ | ۰.۱۶۵ |
| S9 | ۱۶۳۷۰۰۰۰۰ | ۰.۱۶۴ |
| S15 | ۱۶۲۶۰۰۰۰۰ | ۰.۱۶۳ |
| S11 | ۱۵۲۶۰۰۰۰۰ | ۰.۱۵۳ |
| S6 | ۱۳۸۵۰۰۰۰۰ | ۰.۱۳۹ |
| S14 | ۱۲۲۴۰۰۰۰۰ | ۰.۱۲۲ |
| S12 | ۱۱۵۴۰۰۰۰۰ | ۰.۱۱۵ |

حداقل تنش‌های فشاری تحت بارهای استاتیکی

حداکثر تنش‌های فشاری تحت بارهای استاتیکی



طاق S12

طاق S1

جدول ۹: بررسی میزان نوسانات افقی، عمودی طاق‌ها در دوره نوسانی تحت اثر ارتعاش آزاد

| شماره طاق | زمان | محور افقی | تغییر در راستای محور افقی | زمان | محور عمودی | تغییر در راستای محور عمودی | شماره طاق | زمان | محور افقی | تغییر در راستای محور افقی | زمان | محور عمودی |
|----------------|------|-----------|---------------------------|----------------|------------|----------------------------|-----------|-----------------|-----------|---------------------------|------|------------|
| دوره افقی قالب | | | | دوره افقی قالب | | | S2 | دوره عمودی قالب | | | | |
| ۰.۰۹۹۶ | | | | ۰.۰۱۸۵ | | | | ۰.۰۱۷۸ | | | | |



| شماره طاق | زمان | تغییر در راستای محور عمودی | زمان | شماره طاق | تغییر در راستای محور افقی | تغییر در راستای محور افقی قالب |
|-----------|-------|----------------------------|------|-----------|---------------------------|--------------------------------|
| S3 | ۰۰۱۷۶ | دوره عمودی قالب | S4 | ۰۰۲۰۳ | دوره افقی قالب | ۰۱۱۰ |
| S5 | ۰۰۱۸۱ | دوره عمودی قالب | S6 | ۰۰۱۲۴ | دوره افقی قالب | ۰۰۴۵۶ |
| S7 | ۰۰۱۵۲ | دوره عمودی قالب | S8 | ۰۰۱۴۹ | دوره افقی قالب | ۰۰۶۳۲ |
| S9 | ۰۰۱۴۹ | دوره عمودی قالب | S10 | ۰۰۱۷۷ | دوره افقی قالب | ۰۰۹۶۷ |
| S11 | ۰۰۱۶۵ | دوره عمودی قالب | S12 | ۰۰۱۳۱ | دوره افقی قالب | ۰۰۴۹۷ |
| S13 | ۰۰۱۷۷ | دوره عمودی قالب | S14 | ۰۰۱۴۱ | دوره افقی قالب | ۰۰۵۵۹ |
| S15 | ۰۰۱۴۵ | دوره عمودی قالب | S16 | ۰۰۱۶۲ | دوره افقی قالب | ۰۰۸۰۳ |
| S17 | ۰۰۱۴۰ | دوره عمودی قالب | S18 | ۰۰۱۴۸ | دوره افقی قالب | ۰۰۶۶۱ |

| شماره طاق | زمان | تغییر در راستای محور افقی | تغییر در راستای محور عمودی |
|-----------|-------|---------------------------|----------------------------|
| S1۹ | ۰۰۶۴۳ | دوره افقی قالب | |
| | ۰۰۱۴۷ | دوره عمودی قالب | |
| | | | |

جدول ۱۰: معرفی مناسب‌ترین و نامناسب‌ترین طاق ماسوله در شبیه‌سازی حرکات افقی، قائم و عملکرد طاق در نوسانات تحت اثر ارتعاش آزاد زلزله

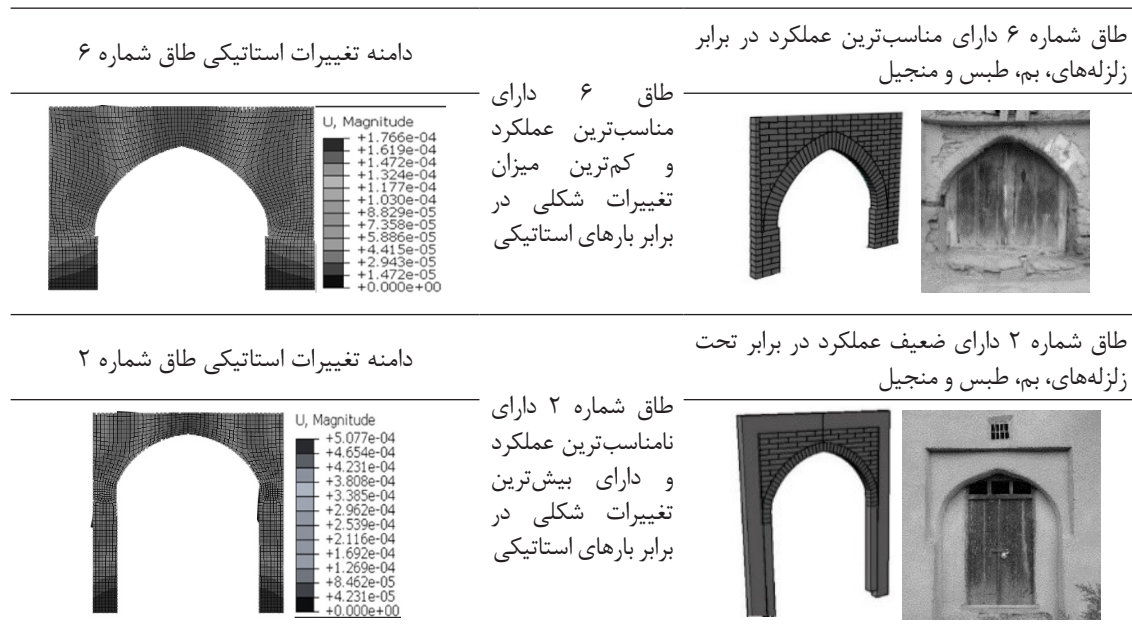
| شماره طاق | زمان | تغییر در راستای محور افقی | تغییر در راستای محور عمودی | شماره طاق | زمان | تغییر در راستای محور افقی | تغییر در راستای محور عمودی | شماره طاق | زمان | تغییر در راستای محور افقی | تغییر در راستای محور عمودی |
|-----------|-------|---------------------------|----------------------------|-----------|-------|---------------------------|----------------------------|------------------------------|-------|---------------------------|----------------------------|
| S2 | ۰۰۱۸۵ | دوره افقی قالب | | طاق | ۰۰۹۹۶ | دوره افقی قالب | | نامناسب‌ترین | ۰۰۹۹۶ | دوره افقی قالب | |
| | | | | | | | | طاق از منظر مقاومت در ارتعاش | | | |
| | | | | | | | | آزاد | | | |
| | | | | | | | | آزاد | | | |

جدول ۱۱: تحلیل عملکرد طاق‌های شهر تاریخی ماسوله تحت آزمایش زلزله‌های شهرهای: بم، روبار منجیل و طبس (رنگ زرد: بدترین عملکرد، رنگ آبی: مناسب‌ترین طاق در برابر زلزله)

| شماره طاق | لحظه شکست طاق | لحظه شکست طاق | لحظه شکست طاق | زلزله بم |
|-----------|---------------|---------------|---------------|----------|
| ۱ | ۲۳.۱۷ | ۵.۸ | ۵.۸ | ۲.۶۴ |
| ۲ | ۲۳.۵۶ | ۲۰.۶ | ۲۰.۶ | ۱.۵۱ |
| ۳ | ۲۳.۴۲ | ۶.۴۱ | ۶.۴۱ | ۷.۱۲ |
| ۴ | ۲۳.۲۲ | ۲.۰۶ | ۲.۰۶ | ۲.۵۸ |
| ۵ | ۲۳.۳ | ۵.۸۳ | ۵.۸۳ | ۶.۶۵ |
| ۶ | ۲۴.۶۵ | ۶.۴۶ | ۶.۴۶ | - |
| ۷ | ۲۳.۴۱ | ۶.۴۶ | ۶.۴۶ | ۶.۶۵ |
| ۸ | ۲۳.۵۷ | ۶.۴۵ | ۶.۴۵ | ۸.۶۴ |
| ۹ | ۲۳.۵۷ | ۶.۵۶ | ۶.۵۶ | ۱۵.۹۲ |
| ۱۰ | ۲۳.۵۳ | ۲.۰۶ | ۲.۰۶ | ۸.۱۸ |
| ۱۱ | ۲۴.۲۲ | ۶.۴۷ | ۶.۴۷ | ۸.۳۸ |
| ۱۲ | ۲۴.۸۲ | ۶.۴۶ | ۶.۴۶ | ۱۳.۱۸ |
| ۱۳ | ۲۳.۶ | ۹.۸۵ | ۹.۸۵ | - |
| ۱۴ | ۲۴.۳۴ | ۱۰.۰۵ | ۱۰.۰۵ | ۱۱.۷ |
| ۱۵ | ۲۳.۵۷ | ۶.۴۶ | ۶.۴۶ | ۸.۶۴ |

| شماره طاق | زلزله بم | لحظه شکست طاق | زلزله رودبار و منجیل | زلزله طبس |
|-----------|----------|---------------|----------------------|---------------|
| | | | لحظه شکست طاق | لحظه شکست طاق |
| ۱۶ | ۲۳.۴۲ | | ۶.۲۵ | ۶.۶۵ |
| ۱۷ | ۲۳.۵۷ | | ۶.۴۶ | ۱۱.۷ |
| ۱۸ | ۲۳.۶ | | ۶.۴۶ | ۱۸.۳۶ |
| ۱۹ | ۲۳.۵۷ | | ۶.۴۶ | ۶.۶۴ |

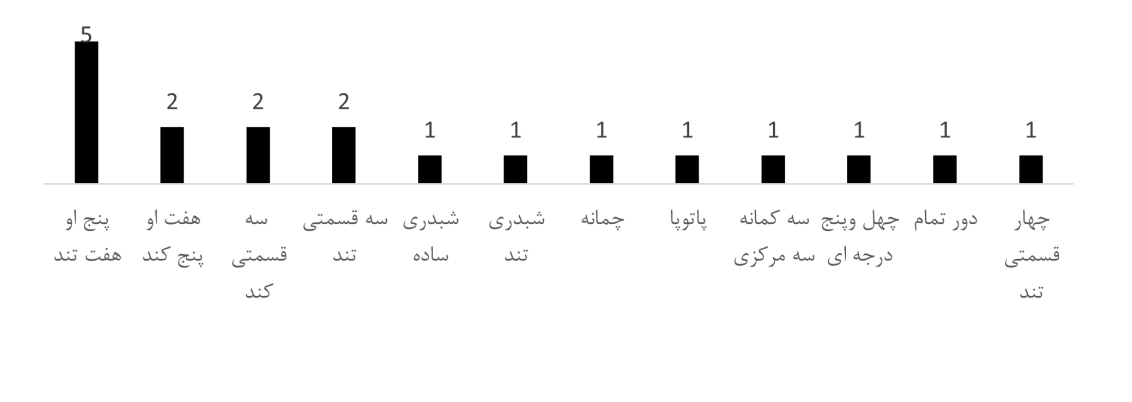
جدول ۱۲: معرفی مناسب‌ترین و نامناسب‌ترین طاق شهر تاریخی ماسوله بر مبنای تحلیل و شبیه‌سازی‌های زلزله‌ای



در ادامه در جدول ۱۳ در اشکال ۱ الی ۴ میزان انواع محلات مختلف و میزان طاق‌های باربر و تزئینی به کار گرفته شده در شهر تاریخی ماسوله ارائه می‌گردد.

جدول ۱۳: معرفی آماری طاق‌های به کار گرفته شده در شهر تاریخی ماسوله

شکل ۱: میزان انواع طاق‌های به کار گرفته شده در ماسوله



شکل ۴: میزان فراوانی و نوع طاق‌ها در محلات مسوله در ماسوله



شکل ۳: میزان انواع شیوه ساخت طاق در ماسوله



در ماسوله به کار گرفته شده‌اند و از این میان طاق‌های پنج او هفت تن، هفت او پنج کند بیشترین میزان را به خویش اختصاص داده‌اند و طاق‌های شبدری تن و ساده دارای کمترین میزان به کارگیری در اینیه مسوله هستند. به‌طور کلی در ساخت ۱۸ طاق مسوله از خشت خام و در یک بنا که در دوران معاصر ساخته شده است از بتن استفاده شده است. غالباً روش ساخت طاق‌های مسوله به‌صورت رومی است و محلات قدیمی مسوله همچون کشه‌سر، خانه‌بر، اسد محله و مسجدبر دارای بیشترین طاق‌ها می‌باشند. نتایج عملکردی طاق‌های مسوله در برابر زلزله شهرهای رویدار منجیل، طبس و زلزله‌ای شهر بم نشان‌دهنده آن است که ۱۷ طاق مسوله، از میان ۱۹ طاق توانسته‌اند شرایط پایداری و کاملاً سالم را در برابر زلزله‌های مخرب داشته باشند. همچنان تحلیل‌های زلزله‌ای نشان‌دهنده آن است؛ طاق چهل و پنج درجه‌ای (شماره ۶) که در محله مسجدبر با روش رومی ساخته شده است دارای بهترین عملکرد در برابر زلزله است و طاق هفت او پنج کند (شماره ۲) که در محله اسد محله قرار گرفته است دارای ضعیف‌ترین عملکرد زلزله‌ای است. در اقع نتایج به‌دست آمده از پژوهش می‌تواند گزینه‌های مناسب و ایمنی را برای ساخت اینیه جدید در شهر تاریخی مسوله می‌سیر گرداند. همچنان نتایج پژوهش می‌تواند موجب حفاظت طاق‌ها و زمینه‌ساز پژوهش‌های آتی همچون، مطالعه تطبیقی طاق‌های مسوله با سایر مناطق تاریخی ایران همچون ایانه اصفهان گردد.

۶. نتیجه‌گیری

طاق نوعی سقف قوسی شکل است که برای انتقال وزن بار عمودی به تکیه‌گاه‌ها بر یک دهانه که فاصله میان دو تکیه‌گاه ساخته می‌شوند. طاق‌ها دارای اشکال گوناگون هستند که از رایج‌ترین اشکال آن‌ها می‌توان به طاق سهمی شکل، نیم‌دایره، بیضی، تیزه‌دار و مازه‌دار اشاره کرد. قدمت به کارگیری از طاق در معماری به دو هزار سال پیش از میلاد و به منطقه میان‌رودان بازمی‌گردد و از کهن‌ترین طاق‌های ایرانی که در پرستشگاه چغازنبیل در ۱۳۵۰ پیش از میلاد استفاده شده است، اشاره کرد. از دیرباز معماران ایرانی بر مبنای مصالح موجود در هر اقلیم دست به ابداعات چشمگیری همچون خلق دهانه‌های بزرگ و زیبا به کمک طاق‌ها زده‌اند. معماران گیلانی به جهت اقلیم معتدل و مرطوب و فراوانی درختان؛ اینیه خویش را از سازه‌های چوبی احداث می‌کردند. استاد کاران شهر تاریخی مسوله به جهت پیروی از اصول معماری ایرانی و بهره‌مندی از مصالح بوم‌آورد و توجه به نیازهای اقلیمی اینیه مسوله را با مصالح چوبی، سنگی و خشت خام احداث می‌کردند. تنوع بهره‌مندی از مصالح در ماسوله موجب شکل‌گیری و به کارگیری طاق‌های متعدد در این شهر تاریخی گردیده است. در مجموع، شهر مسوله دارای ۱۹ طاق می‌باشد که از این میان: طاق‌های پنج او هفت تن، هفت او پنج کند، سه‌قسمتی کند و تن، شبدری ساده، شبدری تن، چمانه، پاتوپا، سه کمانه سه‌مرکزی، چهل و پنج درجه‌ای دور تمام و طاق چهار‌قسمتی تن

تشکر و قدردانی

این مقاله هیچ حامی مالی و معنوی نداشته است.

تعارض منافع

این مقاله فاقد هرگونه تعارض منافعی است.

تاییدیه اخلاقی

نویسنده‌گان متعهد می‌شوند که کلیه اصول اخلاقی انتشار اثر علمی را براساس اصول اخلاقی COPE رعایت کرده‌اند و در صورت احراز هر یک از موارد تخطی از اصول اخلاقی، حتی پس از انتشار مقاله، حق حذف مقاله و پیگیری مورد را به مجله می‌دهند.

درصد مشارکت

نویسنده‌گان اعلام می‌دارند به طور مستقیم در مراحل انجام پژوهش و نگارش مقاله مشارکت فعال داشته‌اند.

فهرست منابع

- Aine-chi, Shahrzad, Nima Vali-Beig, and Farhad Tehrani. 2019. Comparison of Geometry and Drawing Method of Karbandi Vault Samples 10, 12, 14, 16- sided Karbandis. *Soffeh* 29(1): 73-91. doi: [10.29252/soffeh.29.1.73](https://doi.org/10.29252/soffeh.29.1.73) [in Persian]
- Bahador Nejad, Mehdi, and Alireza Dehghani. 2008. *Windward: Iran's Engineering Masterpiece*. Tehran, Iran: Yazda. [in Persian]
- Bozorgmehri, Zohreh. 2006. *Geometry in Architecture*. Tehran, Iran: Cultural Heritage Organization. [in Persian].
- Fallahi, Fatemeh, Hossein Sultan Zadeh, Saeid Mir Riyahi, and Mohammad Mehdi Raeis Samiei. 2022. Comparison of Timurid Vault and Dome Using Computational Methods of Al'Kashi Models: The Case of Goharshad Mosque, Mashhad. *Journal of Architectural Thought* 6 (12): 101-17. <https://doi.org/10.30479/at.2022.14870.1681>. [in Persian]
- Fuller, Moore. 1998. *Understanding Structures*. Chicago, Canada: McGraw-Hill Science/Engineering/Math.
- Ghaffari, Gholam Reza, and Seyyed Ali Mostoli Zadeh. 2013. Administrative-Management System and Sustainable Socio-Cultural Development in Masouleh Tourism Sector. *Tourism Development*, 2(7): 106-25. https://tourismpd.journals.umz.ac.ir/article_592.html. [in Persian]
- Godar, Andre, and Yeda Godar. 2011. *Arch and Arch in Iranian Architecture*. Translated by Hamid Ghara Gozlo and Saeid Saeimi. Tehran, Iran: Modiran-Emrooz. [in Persian]
- Hasanpour Loumer, Saeid, Ahad Nejad Ebrahimi, Hassan Sattari Sarbangholi, and Ali Vand Shoari. 2023. Recognition of Girih Tiling and Ghavarebari Patterns and Motifs in Fixed Windows and Openings of Asad-Mahaleh in Masouleh. *Negarineh Islamic Art* 9(24): 58-73. <https://doi.org/10.22077/nia.2022.5652.1649>. [in Persian]
- Hasanpour Loumer, Saeid, Ahad Nejad Ebrahimi, Hassan Sattari Sarbangholi, and Ali Vand Shoari. 2023. Rereading the Components of the Desirable City for the Elderly; a Case Study of the Historical City of Masouleh. *MEJDS* 13: 57. <http://jdisabilstud.org/article-1-3144-fa.html>. [in Persian]
- Jamshid Kashani, Ghiyasadin. 2008. *Treatise on Taq and Azaj*. Tehran, Iran: Sorosh. [in Persian].
- Kakouei, Mahshid, Mina Kakouei, Kumaran Suberamanian, Sabzali Musa Kahn, Afshin Jahangirzadeh, and Shati-rah Akib. 2012. Masouleh: A City; a History. *International Journal of Humanities and Social Sciences* 6(11): 2843-48. <https://publications.waset.org/11475/masouleh-a-city-a-history>.
- Kiyani, Mohammad Yousef. 2012. *Architecture of Iran during the Islamic Period*. Tehran, Iran: SAMT. [in Persian]
- Mahdi Nejad Jamal Addin, Fezeh, Ali Sharghi, and Faezeh Asad Pour. 2021. The Integration of Architectural Form and Structure in the Formation of the Physical Structure of Historical Buildings Using Iranian Arches. *Architectural Thought* 5(10). <https://doi.org/10.30479/at.2020.11225.1280>. [in Persian]
- Makki Nejad, Mahdi. 2005. *A Selection of Works by Asghar Sherbaf*. Tehran, Iran: Academy of Art. [in Persian]
- Mansouri, Rezvaneh. 2018. *Investigating and Recognizing the Types of Arches in Iranian Architecture*. Tehran, Iran: Nedaye-Kar-Afarin. [in Persian]
- Memariyan, Gholam Reza. 2012. *Acquaintance with Iranian Residential Architecture, Extroverted Typology*. Tehran, Iran: Sorosh-Danesh. [in Persian]
- Momeniyan, Mohammad Hossein, and Hossein Tahaghghi. 2017. Seismic Safety Investigation of the Most Common Arch and Fountain of Kashan Historical Bazaar by Finite Element Method. *The 11th International Congress of Civil Engineering, University of Tehran*. Tehran, Iran. <https://civilica.com/doc/979999>. [in Persian]
- Musai, Maysam, Mohsen Mehrara, Hossienali Mahmoudian Ardakani, Fatemeh Nemati, and Marziyh Nekoolal. 2013. Factors of Travel to the Village of Masouleh in Iran. *Academic Research in Business and Social Sciences* 3: 190-200. <http://www.hrmars.com/admin/pics/1686.pdf>.
- Nasehi, Saeedeh, Hadis Allahyari, and Lobat Zebaraft. 2017. Assessment of Rural Tourism Using SWOT Analysis (Case Study:Masouleh Village, Gilan, Iran. *Engineering Research and Advanced Technology (IJERAT)* 3(5): 8-21. https://www.researchgate.net/publication/328492512_Assessment_of_rural_tourism_using_SWOT_analysis_Case_StudyMasouleh_village_Gilan_Iran.
- Nazar Mohammadi, Esmaeil, and Riyaz Rezvan. 2012. *Building Stiffening Workshop*. Tehran, Iran: Danesh-Parvar. [in Persian]
- Pirniya, Mohammad Karim. 1993. Chafds and Arches - Chafds. *Asar* 24: 5-45. <http://journal.richt.ir/athar/article-1-357-fa.html>. [in Persian]
- Pirniya, Mohammad Karim. 1973. Iran's Contributions to the Dome Architecture World. *Art and People* 136-137: 2-7. <https://ensani.ir/fa/article/69444> [in Persian]
- Pirniya, Mohammad Karim. 1990. The Dome in Iranian Architecture, by the Efforts of Zohra Bozorgmehri. *Asar* 12(20): 5-139. <http://journal.richt.ir/athar/article-1-392-fa.html>. [in Persian]
- Pour Aminian, Majid, Arzhang Sadeghi, and Somayeh Pour Bakhshiyan. 2012. Investigating the Seismic Stability

of Iranian Brick Arches (Research Note). *Civil and Environmental Engineering (Technical College)* 42(1): 49-55. https://journals.tabrizu.ac.ir/article_3431_b7266f50e837d75e21cd91fcc7c01504.pdf. [in Persian]

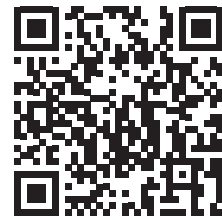
- Rabiei, Mehrdad, Solmaz Amr Kenargir, and Mohammad Navid Tafvizi. 2020. *Kolonbo*. Mazandaran, Iran: Chashm-Saei. [in Persian]
- Raeis Zadeh, Mahnaz, and Hossein Mofid. 2006. *Revival of Traditional Architectural Arts in Iran According to Master Hossein Lorzadeh*. Tehran, Iran: Moli. [in Persian]
- Ramezani Gorabi, Bahman, and Zahra Kazem Nejad. 2011. The Relationship between the Sustainable Development of Environmental Architecture and Climate Design in Mountainous Areas, a Case Study: Masouleh Town. *Geographical Study of the Environment* 4(14): 21-38. <https://www.sid.ir/paper/130731/fa>. [in Persian]
- Rasouli, Hoshang. 2014. *History and Styles of Architecture in Iran*. Tehran, Iran: Pashotan. [in Persian]
- Raštgarpour, Hassan. 2014. *English for the Students of Architecture*. 13th ed. Tehran, Iran: SAMT. [in Persian]
- Rjabí, Fatemeh. 2019. *Architecture of Iran during the Islamic Period*. Tehran, Iran: Payam Noor University. [in Persian]
- Vaisi, Ako. 2015. View Analysis in the Old Texture of Sanandaj (A Case Study Ahmadzadeh Mansion of Sanandaj. *The First National Conference on Geography, Urban Planning and Sustainable Development*. Tehran, Iran (Islamic Republic of): The first national conference on geography, urban planning and sustainable development. <https://civilica.com/doc/265814/>. [in Persian]
- Zamani-Farahani, Hamira, and Musa Ghazali. 2008. Residents' Attitudes and Perception towards Tourism Development: A Case Study of Masooleh, Iran. *Tourism Management* 29(6): 1233-36. <https://doi.org/10.1016/j.tourman.2008.02.008>.
- Zamani-Farahani, Hamira, and Musa Ghazali. 2012. The Relationship between Islamic Religiosity and Residents' Perceptions of Socio-Cultural Impacts of Tourism in Iran: Case Studies of Sare'in and Masooleh. *Tourism Management* 33(4): 802-14. <https://doi.org/10.1016/j.tourman.2011.09.003>.
- Zomarshidi, Hossein. 2010. *Iranian Dome and Arch Elements*. Tehran, Iran: Zaman. [in Persian]

نحوه ارجاع به این مقاله

حسنپور لمر، سعید، احمد نژاد ابراهیمی، حسن ستاری ساربانقلی، و علی وندشماری. ۱۴۰۲. گونه‌شناسی و تحلیل پایداری لرزوهای طاق‌های شهر تاریخی ماسوله. *نشریه معماری و شهرسازی ارمان شهر* ۱۶(۴۴): ۹۱-۱۱۰.

DOI: 10.22034/AAUD.2023.352656.2691

URL: https://www.armanshahrjournal.com/article_183834.html



COPYRIGHTS

Copyright for this article is retained by the author(s), with publication rights granted to the Armanshahr Architecture & Urban Development Journal. This is an open-access article distributed under the terms and conditions of the Creative Commons Attribution License.

<http://creativecommons.org/licenses/by/4.0/>

